

بررسی تاثیر استفاده از روش‌های آستانه گذاری (در فضای موجک) بر میزان کاهش نویزها روی داده‌های ایستگاه‌های دائمی GPS

خسرو مقتصد آذر^{*}، مهدی غلام نیا^۱

^۱استادیار گروه مهندسی نقشه برداری - دانشکده عمران - دانشگاه تبریز
moghtased@tabrizu.ac.ir

^۲کارشناس ارشد ژئودزی - گروه مهندسی نقشه برداری - دانشکده فنی و مهندسی - دانشگاه زنجان
mehgholamnia@gmail.com

(تاریخ دریافت تیر ۱۳۹۲، تاریخ تصویب تیر ۱۳۹۳)

چکیده

هدف از انجام این تحقیق استفاده از تکنیک موجک‌ها برای کاهش اثر نویز در سری‌های زمانی بلند مدت GPS با اعمال آستانه‌گذاری‌های مختلف و مقایسه تاثیر آنها در روند کاهش نویز می‌باشد. روش‌های آستانه‌گذاری شامل: حد آستانه جرمیه، راهکار بیرگه - ماسارت، روش هیبریدی شور-شرینک، روش آستانه‌گذاری سراسری، روش مینیماکس و روش آستانه گذاری با استفاده از کمینه کردن برآورد نالریب ریسک اشتاین بودند که برای مقایسه تاثیر آنها در کاهش نویزها از سه مدل استنوتکاستیک برای ترکیب نویزها در سری‌های زمانی ایستگاه‌های دائمی GPS استفاده شد: (الف) مدل شامل نویز سفید (مدل I)، (ب) مدل ترکیبی شامل نویز سفید و نویز نویز تصادفی (مدل II)، (ج) مدل ترکیبی شامل نویز سفید و نویز فلیکر (مدل III). برای انجام محاسبات و تحلیل‌های عددی، به تعداد ۲۶۴ ایستگاه GPS از آرشیو SOPAC با پوشش زمانی ۱۰ ساله (از ژانویه ۲۰۱۱ تا ژانویه ۲۰۰۱) جهت انجام آنالیز و محاسبات انتخاب گردید. این داده‌ها بصورت خام بوده و هیچ گونه عملیات نویز بری آنها انجام نگرفته بود. نتایج حاصل نشان می‌دهد که از بین روش‌های آستانه‌گذاری، در مدل شامل نویز سفید (مدل I): روش حد آستانه جرمیه و روش آستانه‌گذاری با استفاده از کمینه کردن برآورد نالریب ریسک اشتاین قادر به کاهش فراوانی دامنه‌های کوچکتر می‌باشد، در صورتی که روش‌های مینیماکس و هیبریدی شور-شرینک قادر به کاهش فراوانی دامنه‌های بزرگتر از نویز سفید را دارند. راهکار بیرگه - ماسارت و روش آستانه‌گذاری سراسری هم قادر به کاهش فراوانی دامنه‌های کوچکتر و هم کاهش فراوانی دامنه‌های بزرگتر می‌باشند. در مدل ترکیبی شامل نویز سفید و نویز تصادفی (مدل II) و مدل ترکیبی شامل نویز سفید و فلیکر نویز (مدل III)، تماشی روشها قادر به کاهش فراوانی دامنه‌های کوچکتر و بزرگتر از نویز سفید (در هر دو مدل) به یک میزان هستند. این در حالی است که برای نویز تصادفی و نویز فلیکر (به ترتیب در هر دو مدل) روش حد آستانه جرمیه و روش آستانه‌گذاری با استفاده از کمینه کردن برآورد نالریب ریسک اشتاین قادر به کاهش فراوانی دامنه‌های کوچکتر می‌باشد، در صورتی که روش‌های مینیماکس و هیبریدی شور-شرینک قادر به کاهش فراوانی دامنه‌های بزرگتر از نویز رنگی را دارند. راهکار بیرگه - ماسارت و روش آستانه‌گذاری سراسری قادر به کاهش فراوانی دامنه‌های کوچکتر و بزرگتر از نویز رنگی می‌باشند.

واژگان کلیدی: سری‌های زمانی، نویز، آنالیز موجک، روش‌های آستانه‌گذاری

* نویسنده رابط

۱- مقدمه

داده‌های بدست آمده از سری‌های زمانی ایستگاه‌های دائمی GPS به عنوان منابع با ارزشی در تفسیر ژئوفیزیکی و ژئودتیکی در علوم زمین به حساب می‌آیند. هر سری زمانی را می‌توان متشکل از دو بخش دانست: بخش سیگنال که در بر گیرنده اطلاعات مفید در مورد رفتار سری زمانی بوده و بخش نویز که ناخواسته بوده و باعث آلوده شدن سیگنال اصلی می‌شود.

سیگنال سری زمانی GPS غیر خطی بوده و در آن اثراتی از مولفه‌های سالیانه، نیم سالیانه، سال تروپیکال، پریود چندلر مشاهده شده است [۲]. علاوه بر اثرات سیستماتیک فوق، برخی از ایستگاه‌ها دارای اثر سیستماتیک مربوط به تغییر آنتن گیرنده ایستگاه^۱ نیز می‌باشند که شناسائی و حذف آن دارای اهمیت می‌باشد. به طور معمول، روند خطی از سیگنال سری زمانی را مربوط به حرکات و جابجایی پوسته آن منطقه (یا ناحیه) می‌دانند که از آن در برآورد تنسور استرین و تنسور تغییر انحنای می‌توان استفاده کرد [۲۵].

برآورد سیگنال سری زمانی دارای اهمیت بالایی می‌باشد و مدل سازی ناقص آن و همچنین عدم جداسازی نویز از از سیگنال باعث تفسیر نادرست نتایج ژئودتیکی و ژئوفیزیکی خواهد شد [۳۲]. مهمترین عوامل ایجاد نویز عبارتند از نداشتن مدل مدار ماهواره، شیفت‌های ناشی از چهار چوب مرجع، عدم مدولاسیون شیفت مرکز آنتن، ناپایداری ساختمان ایستگاه، نقص مدل‌های اتسفریک و تصحیحات یونسferیک. هر چند که هنگام پردازش داده‌ها توسط نرم افزارهای GPS یک سری تصحیحات با استفاده از مدل‌های تقریبی به داده‌ها اعمال می‌شوند ولی این مدل‌ها به طور کامل قادر به حذف نویز نبوده و آثار آنها در سری‌های زمانی باقی می‌ماند.

برای کاهش اثر نویز، ابتدا برآورده از میزان و نوع آنها در سری زمانی لازم است. وجود نویز سفید^۲ و نویز فلیکر^۳ و نویز تصادفی^۴ در سری زمانی GPS نشان داده شده است [۳۱]. روش‌های مختلفی برای برآورد میزان دامنه نویزها وجود دارد که از آن جمله می‌توان به روش‌های آنالیز توان نویز،

^۱ Offset

^۲ White noise

^۳ Flicker noise

^۴ Random walk noise

روش برآورد کمترین مربعات مولفه‌های واریانس و همچنین برآورد درست نمائی ماکریم اشاره کرد [۲، ۸، ۲۶]. بطور کلی برآورد سیگنال و نویز در سری‌های زمانی GPS دارای اهمیت ویژه‌ای می‌باشد، در صورتی که اثر سیستماتیکی مانند مولفه سالیانه یا نیم سالیانه در سری زمانی باقی مانده باشد، دامنه برآورد شده برای نویزها به صورت غیر واقعی بالا خواهد بود [۲]، که این موضوع اهمیت جداسازی سیگنال و نویز را در سری زمانی GPS نشان می‌دهد.

موجک^۵تابع ریاضی است که یک سیگنال پیوسته را به مولفه‌های فرکانسی اش تجزیه می‌کند. تبدیل موجک نسبت به تبدیل فوریه خصوصیت محلی سازی بهتری دارد، زیرا توابع پایه در تبدیل فوریه توابع سینوسی و کسینوسی بوده و دامنه آنها در کل بازه ثابت است، اما در توابع موجک بیشتر ارزی آنها در بازه کوچکی مرکز شده است و به سرعت میرا می‌شوند. از طرف دیگر تبدیل فوریه فقط دقت در فرکانس دارد. یعنی تمام فرکانس‌های موجود در یک سیگنال را می‌تواند تعیین کند، ولی سیگنال‌ها ویژگی‌هایی دارند که با زمان تغییر می‌کند و با تبدیل فوریه نمی‌توان این مشخصات را آشکار سازی کرد [۱۹].

تبدیل فوریه، برای غلبه بر این مشکل، پنجره‌های را معرفی می‌کند که سیگنال را به یک فضای دو بعدی زمان - فرکانس تصویر می‌کند. ایراد این روش نیز این است که هنگامی که پنجره‌ای با طول مشخص انتخاب می‌شود، این پنجره برای تمام فرکانس‌ها یکسان می‌باشد. بهتر است که طول پنجره به منظور بدست آوردن اطلاعات دقیق زمانی و مکانی تغییر کند.

آنالیز موجک تکنیکی مبتنی بر ایجاد پنجره‌های متغیر می‌باشد. به طوری که در جاهایی که اطلاعات با فرکانس پایین نیاز است از پنجره‌های با طول بلند و در جاهایی که اطلاعات فرکانس بالا نیاز است از پنجره‌های کوتاه استفاده می‌شود. حسن استفاده از آنالیز موجک این است که نیاز به هیچ نوع پیش فرضی برای بخش سیگنال سری زمانی وجود ندارد. یعنی به نحوی اثر نقص مدل سیستماتیک در آنالیز سری‌های زمانی GPS کم رنگ خواهد بود.

از مهمترین و وسیع ترین تحقیقات انجام شده از کاربرد موجک در علوم ژئودزی و ژئوفیزیک می‌توان به

کمترین مربعات وزن دار (با معلوم بودن ماتریس کوواریانس مشاهدات Q_y) داشت.

آنالیز نویزها در سری های زمانی معمولاً از دو روش انجام می گیرد:

۱. طیف توان نویز و برآورد شیب آن: رفتار مکانی یا زمانی یک بعدی از یک فرآیند تصادفی دارای طیف توان به صورت زیر می باشد:

$$P(f) = P_0 \left(\frac{f}{f_0}\right)^{\kappa} \quad (2)$$

که در آن f فرکانس، P_0 و f_0 ثابت های نرمال ساز و κ شاخص طیفی می باشد. در صورتی که $\kappa \in [-3, 1]$ حرکت براونی کسری^۳، اگر $\kappa \in [-1, 1]$ نویز سفید کسری^۴، اگر $\kappa = 0$ نویز سفید، اگر $\kappa = -1$ نویز فلیکر و اگر $\kappa = -2$ نویز تصادفی خواهد بود [۱].

۲. تشکیل مدل استوکاستیک بین المانهای تشکیل دهنده ماتریس مشاهدات و برآورد دامنه هر کدام از آنها: در این روش برای مشخص کردن سهم هر کدام از نویز های رنگی در ماتریس کوواریانس، از روش تجزیه ماتریس کوواریانس استفاده می شود:

$$Q_y = \sigma_w^2 I + \sigma_f^2 Q_f + \sigma_{rw}^2 Q_{rw} \quad (3)$$

در رابطه فوق ضرائب σ_{rw} , σ_f و σ_w به ترتیب دامنه نویز تصادفی، نویز فلیکر و نویز سفید بوده، ماتریس I ماتریس یکه بوده و ماتریس های Q_{rw} ماتریس کوفاکتور نویز فلیکر می باشند. ساختار کلی ماتریس Q_y معلوم می باشد ولی سهم هر کدام از نویز های رنگی مجھول می باشد که می تواند توسط روش های برآورد درست نمائی مراکزیم^۵ یا کمترین مربعات مولفه های واریانس برآورد شود [۲].

بر اساس محاسبات انجام گرفته بهترین ترکیب نویزی برای داده های GPS شامل ترکیب نویز سفید و فلیکر می باشد [۹، ۳۱، ۳۴]. این در حالی است که تحقیقاتی دیگر وجود نویز تصادفی را در ۳۰٪ داده ها تایید می کنند [۳۴، ۳۱، ۲۰].

کتابهای تالیف شده توسط آقایان کلر [۳] و فریدن اشاره کرد [۱۶، ۱۷].

در این مقاله ابتدا آنالیز طیفی کمترین مربعات سیگنالهای GPS (آنالیز فوریه) و روش های برآورد انواع نویز در سری های زمانی GPS مرور می شود و در ادامه تجزیه سیگنال به باندهای فرکانسی مختلف در فضای موجک بحث می شود. در بخش چهارم از این تحقیق روش های آستانه گذاری و بازسازی سیگنال مورد بحث قرار می گیرد. به منظور بررسی کارآئی تئوری مورد بحث در این پژوهش، به تعداد ۲۶۴ ایستگاه دائمی GPS از آرشیو^۶ SOPAC با پوشش زمانی ۱۰ ساله (از ژانویه ۲۰۱۱ تا ژانویه ۲۰۲۰) جهت انجام آنالیز و محاسبات انتخاب گردیده است.

۲- آنالیز طیفی کمترین مربعات سیگنالهای GPS (آنالیز فوریه)

در روش آنالیز طیفی کمترین مربعات، سری زمانی موقعیت ایستگاههای دائمی به مولفه های پریودیک فرکانس های مختلف تجزیه شده و مورد تحلیل قرار می گیرند [۲۶]:

$$\begin{aligned} y(t_i) = & a + b(t_i - t_o) + c \sin(2\pi t_i) + \\ & d \cos(2\pi t_i) + e \sin(4\pi t_i) + \\ & f \cos(4\pi t_i) + \sum_{j=1}^{n_g} g_j H(t_i - T_{g_j}) + v_i \end{aligned} \quad (1)$$

که در آن t_o لحظه شروع سری زمانی (مباده زمانی)، t_i زمان هر اپک مشاهداتی، (a, b) ضرائب روند خطی سری زمانی، (c, d) ضرائب حرکت دوره سالیانه و پارامتر g_i (e, f) ضرائب حرکت دوره نیم سالیانه و پارامتر T_g آفستها (جابجایی های ناشی از تغییر آنتن) را برای هر تعداد n_g با اندازه و بزرگی های g در اپک T_g بیان می کند. در رابطه فوق H تابع پله ای هویساید^۷ می باشد و v_i نویز مشاهدات (مربوط به هر ایستگاه) بوده که دارای رفتاری تصادفی است ($v_i = 0$). با فرض معلوم بودن مشاهدات y در اپک های مشاهداتی مختلف t_i ، می توان برآوردهای خطی نا اریب از پارامترهای مجھول توسط متدهای

^۳ Fractional Brownian motion

^۴ Fractional white noise

^۵ Scripts orbit and permanent array center

^۶ Heaviside step function

۲. قاعده‌مندی^۴: توابع مولد زیر فضای $L^2(\mathbb{R})$ توابعی متعامد معروف به توابع مقیاس $\{\phi(x-k), k \in \mathbb{Z}\}$ می‌باشند.

۳. خود متشابه^۵ در حوزه زمان- مکان: هر زیر فضائی مانند V_k تحت ترانسفورماتیونی از مضارب صحیح از $f \in V_k$ ناوردا خواهد بود. به عبارتی به ازای هر $g \in V_k$ وجود دارد $g = f(x + m2^{-k})$ به طوری که:

$$\forall x \in \mathbb{R}, m \in \mathbb{Z}: f(x) = g(x + m2^{-k}) \quad (7)$$

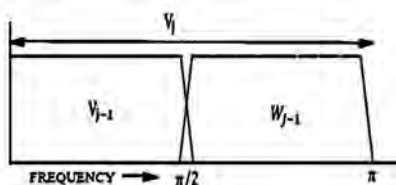
۴. خود متشابه در حوزه مقیاس- فرکانس: تمامی زیر فضاهای $V_k \subset V_l$, $k < l$ در واقع یک نسخه‌ای از تبدیل زمانی هم‌دیگر با مقیاس 2^{l-k} می‌باشند. به عبارتی به ازای هر $f \in V_k$ وجود دارد $g \in V_l$ به طوری که:

$$\forall x \in \mathbb{R}: g(x) = f(2^{l-k}x) \quad (8)$$

اگر زیر فضای V_j (که حاوی رفتار تقریبی سیگنال بوده و زیر فضای تقریبات می‌باشد) توسط بردارهای پایه $\phi_{jk}(x)$ تنبیه شود، آنگاه V_{j+1} توسط بردارهای پایه $\phi_{j+1,k}(x) = \sqrt{2}\phi_{jk}(2x)$ تنبیه می‌شود بطوریکه $\phi_{j+1,k}(x)$ بدلیل اینکه $V_0 \subset V_1$ می‌باشد، هر تابعی در V_0 را می‌توان به صورت ترکیب خطی از توابع پایه $\phi_{j+1,k}(2x - k)$ نوشت:

$$\phi(x) = \sum_k h(k) \sqrt{2} \phi(2x - k) \quad (9)$$

$h(k) = \langle \phi(x), \sqrt{2} \phi(2x - k) \rangle$ متمم متعامد از V_j به V_{j+1} را با W_j نمایش می‌دهیم که در آن $V_j = W_j \oplus V_{j+1}$ و حاوی رفتار فرکانس بالای سیگنال بوده و زیر فضای جزئیات می‌باشد (شکل ۱).



شکل ۱- تقسیم محتوای فرکانسی سیگنال

^۴ Regularity
^۵ Self - similarity

۳- تجزیه سیگنال به باندهای فرکانسی مختلف در فضای موجک

هدف از تبدیل موجک، انتقال سیگنال از فضای زمان به فضای مشترک زمان- فرکانس می‌باشد. در تبدیل موجک پیوسته، سیگنال $f(t)$ را می‌توان به صورت زیر بیان کرد:

$$W_f(a, b) = \int_{-\infty}^{+\infty} \psi_{a,b}(t) f(t) dt \quad (4)$$

که در آن $\psi_{a,b}(t)$ تابع موجک مادر^۱ می‌باشد که به صورت زیر تعریف می‌شود:

$$\psi_{a,b}(t) = \frac{1}{\sqrt{a}} \psi\left(\frac{t-b}{a}\right) \quad (5)$$

پارامتر مقیاس و b نیز پارامتر انتقال روی محور مختصات می‌باشد. افزایش پارامتر مقیاس باعث پهن شدن موجک مادر در حوزه زمان می‌گردد و محتوای فرکانسی پایین را نشان می‌دهد و بر عکس [۱۹].

بدلیل حجم محاسبات زیاد در تبدیل موجک پیوسته، مبانی الگوریتم سریع موجک گسسته با استفاده از مبانی آنالیز چند ریزه سازی^۲ (MRA) در سال ۱۹۸۷ پایه ریزی شد [۲۱]. این تئوری بر مبنای امکان استفاده از تابع پایه مختلف از نوع موجک برای تقسیم محتوای فرکانسی سیگنال به چندین سیگنال ساده می‌باشد. برای تشریح این تئوری فرض می‌شود که فضای $L^2(\mathbb{R})$ شامل تمامی توابع مربعی انتگرال پذیر باشد و MRA شامل دنباله‌ای از زیر فضاهای تو در تو $\{V_j\}_{j \in \mathbb{Z}}$ باشد که می‌توانند فضای $L^2(\mathbb{R})$ را تقریب بزنند. زیر فضاهای دارای خواص زیر می‌باشند:

۱. کامل بودن^۳: اجتماع زیر فضاهای تو در تو چگال در $L^2(\mathbb{R})$ بوده و اشتراک آنها با هم تهی می‌باشد:

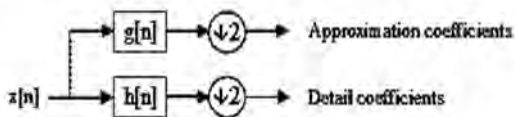
$$\begin{aligned} \{o\} &\subset \dots \subset V_0 \subset V_1 \subset \dots \\ &\subset V_n \subset V_{n+1} \subset \dots \subset L^2(\mathbb{R}) \end{aligned} \quad (6)$$

^۱ Mother wavelet

^۲ Multi-resolution analysis

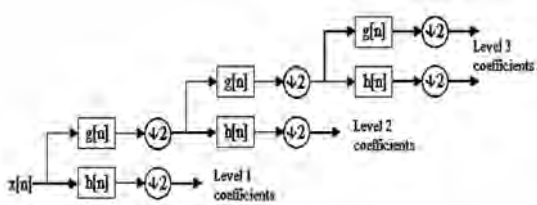
^۳ Completeness

بالاگذر (فرکانس بالا) و باند دوم (۵) شامل ضرائب کلیات^۳ ناشی از عبور از فیلتر پایین گذر (فرکانس پایین) می‌باشد (شکل ۲). از آنجا که پس از عبور از هر فیلتر نیمی از فرکانس‌های سیگنال حذف می‌شوند، بنابراین خروجی فیلترها با ضریب دو باز نمونه برداری^۴ می‌شوند [۱۹].



شکل ۲- دیاگرام بلوكی از آنالیز فیلتری

این فیلترها، فیلترهای آبینه‌ای چهارگانه^۵ می‌باشند. روند تجزیه سیگنال به دو باند d و s ، وابسته به تعداد نقاط سیگنال بوده و می‌تواند به صورت سلسله وار بروی باند حاوی ضرائب فرکانس بالا ادامه داشته باشد تا اینکه رزولوشن فرکانسی مورد نظر حاصل گردد (شکل ۳).



شکل ۳- تراز سوم از تجزیه یک سیگنال به فرکانسهای بالا و پایین

۴- روش‌های آستانه‌گذاری

آستانه‌گذاری^۶، یک روش غیر خطی است که بر روی ضرائب موجک عمل می‌کند. یکی از روش‌های رایج فیلتر کردن نویز گوسی (با میانگین صفر و انحراف معیار σ) از طریق آستانه‌گیری ضرائب موجک می‌باشد. در این روش، پس از انتقال سیگنال به فضای موجک، چندین مجموعه ضرائب بدست می‌آید که هر مجموعه مربوط به یک محدوده فرکانسی خاص می‌باشند. هر کدام از ضرائب موجک با یک آستانه مقایسه می‌شوند که اگر قدر مطلق آن کمتر از آستانه باشند، صفر می‌گردد و در غیر اینصورت، براساس قانون آستانه‌گیری بکار رفته، نگه داشته می‌شوند یا تغییر می‌یابند. در حقیقت نقش آستانه این است که ضرائب کوچک را که

^۳ Approximation coefficients

^۴ Down sampling

^۵ Quadrature mirror filter

^۶ Thresholding

حال با تعریف بردارهای پایه زیر:

$$\begin{aligned}\psi(x) &= \sum_k \sqrt{2} (-1)^k h(-k+1) \phi(2x-k) \\ &= \sum_k \sqrt{2} g(k) \phi(2x-k)\end{aligned}\quad (10)$$

$\left\{ \sqrt{2} \psi(2x-k), k \in \mathbb{Z} \right\}$

یک پایه متعامد برای W_1 می‌باشد [۱۱]. از خاصیت خود متشابهی MRA می‌توان نتیجه گرفت که $W_1 = \left\{ 2^{j/2} \psi(2^j x - k); j, k \in \mathbb{Z} \right\}$ بردارهای پایه مولد $U_{j \in \mathbb{Z}} \in V_j = U_{j \in \mathbb{Z}} \in W_1$ چگال در $L^2(R)$ می‌باشد. بدلیل اینکه $U_{j \in \mathbb{Z}}$ در

$$\left\{ \psi_{jk}(x) = 2^{j/2} \psi(2^j x - k); j, k \in \mathbb{Z} \right\} \quad (11)$$

بردارهای پایه $L^2(\mathbb{R})$ می‌باشند. بنابراین، برای هرتابع $f \in L^2(\mathbb{R})$ می‌توان فرمول تجزیه^۷ را بصورت زیر نوشت:

$$\begin{aligned}f(t) &= \sum_k s_j(k) 2^{j/2} \varphi(2^j - k) \\ &\quad + \sum_k d_j(k) 2^{j/2} \psi(2^j - k)\end{aligned}\quad (12)$$

که در رابطه فوق ضرائب s_j و d_j به ترتیب مختصات تصویر این تابع بر زیر فضای تقریبات و جزئیات می‌باشد. الگوریتم سریع ملات برای تجزیه سیگنال x با عبور آن از یک مجموعه از فیلترها محاسبه می‌گردد. برای این امر ابتدا سیگنال گسسته مورد نظر از یک فیلتر پایین گذر با پاسخ ضریب g عبور داده می‌شود (با استفاده از کانولوشن سیگنال و پاسخ ضریب فیلتر):

$$d(n) = \sum_{k=-\infty}^{\infty} g(2n-k) x(k) \quad (13)$$

همزمان، سیگنال توسط فیلتر بالا گذر h نیز تجزیه می‌گردد:

$$s(n) = \sum_{k=-\infty}^{\infty} h(2n-k) x(k) \quad (14)$$

در نتیجه این امر دو باند خروجی حاصل می‌گردد. باند اول، (d) شامل ضرائب جزئیات^۸ ناشی از عبور فیلتر

^۷ Decomposition formula

^۸ Detailed coefficients

جزئیات در سطح اول تجزیه (d_1) برای برآورد مقدار σ به صورت زیر استفاده کردند:

$$\hat{\sigma} = \frac{\text{median}(|d_1(k) - \text{median}(d_1(k))|)}{0.6745} \quad (18)$$

که در آن n طول سیگنال و $k=1,2,\dots,n/2$ می‌باشد. دلیل این انتخاب ضرائب جزئیات از سطح اول تجزیه آنست که این سطح از ضرائب بیشتر به نویز آلوده می‌باشند. روش‌های استاندارد از انتخاب سطح آستانه مورد بحث قرار می‌گیرد:

الف) حد آستانه سراسری^۶: بدون در نظر گرفتن تابع آستانه، برای یک سیگنال به طول n و حاوی نویز سفید گوسی با توزیع مستقل و همسان $x \sim N(0,1)$ سطح آستانه از رابطه زیر قابل حصول می‌باشد [۱۳]:

$$\lambda^U = \sqrt{2 \log n} \quad (19)$$

در صورتی که داده‌ها نسبت به انحراف استاندارد نویز نرمالیزه نشده باشند، مقدار $\hat{\sigma}$ توسط معادله (۱۷) برآورد شده و حد آستانه از رابطه $\lambda^U = \hat{\sigma}\sqrt{2 \log n}$ برآورد می‌گردد.

ب) حد آستانه شورشرینک^۷: حد آستانه در این روش وابسته به هر سطح تجزیه می‌باشد و با کمینه کردن برآورد نالاریب ریسک اشتاین^۸ در هر در سطح تجزیه j بدست می‌آید [۱۳]:

$$\lambda_j^S = \arg \min_{\lambda \geq 0} [\text{SURE}^S(\lambda, d_j)] \quad (20)$$

که در آن (λ, d_j) $\text{SURE}^S(\lambda, d_j)$ نمایانگر برآورد نالاریب ریسک از تابع آستانه مربوطه و d_j ضرائب جزئیات در سطح تجزیه j می‌باشد. به عنوان مثال، حد آستانه در این سطح از تابع آستانه نرم عبارت است از:

$$\begin{aligned} \text{SURE}^S(\lambda, d_j) &= N_j - 2 \sum_{k=1}^{N_j} \mathbf{1}(|d_k| \leq \lambda) \\ &\quad + \sum_{k=1}^{N_j} (\min(|d_k|, \lambda))^2 \end{aligned} \quad (21)$$

^۶ Universal thresholding

^۷ SureShrink thresholding

^۸ Stein's unbiased risk estimate (SURE)

آلوده به نویز می‌باشند را از ضرائب بزرگ، که نشان دهنده ویژگی‌های مهم سیگنال می‌باشند، متمایز می‌سازد [۲۹]. فرآیند آستانه‌گذاری ضرائب جزئیات موجک به دو مرحله قابل تقسیم می‌باشد که مرحله اول آن انتخاب تابع آستانه T می‌باشد. در واقع، توابع آستانه نمایانگر چگونگی اعمال حد آستانه به ضرائب می‌باشد. دو تابع کلی برای این مرحله تعریف شده است: تابع آستانه سخت^۹ δ_λ^H و تابع آستانه نرم^{۱۰} δ_λ^S . در تابع آستانه سخت، زیر باندی از ضرائب جزئیات (d) با مقادیر بزرگتر از سطح آستانه (λ) حفظ می‌شوند:

$$\delta_\lambda^H(d) = d \mathbf{1}(|d| > \lambda) \quad (15)$$

در حالی که در تابع آستانه نرم داریم:

$$\delta_\lambda^S(d) = (d - \text{sgn}(d)\lambda) \mathbf{1}(|d| > \lambda) \quad (16)$$

که $\mathbf{1}$ تابع مشخصه^{۱۱} در d می‌باشد [۱۰] و بصورت زیر تعریف می‌شود:

$$\mathbf{1}_\lambda(d) = \begin{cases} 1; & |d| > \lambda \\ 0; & |d| \leq \lambda \end{cases} \quad (17)$$

مرحله دوم، انتخاب حد آستانه می‌باشد. روش‌های آستانه‌گذاری به دو گروه تقسیم می‌شوند: آستانه‌گذاری سراسری و آستانه‌گذاری وابسته به سطح. در روش اول، مقداری واحد برای آستانه‌گذاری تمامی ضرائب موجک انتخاب می‌شود در حالی که در روش دوم امکان آستانه‌گذاری برای هر سطح تجزیه (j) از ضرائب (λ_j) ممکن می‌باشد. لازمه انتخاب سطح آستانه، برآورد سطح نویز (σ) می‌باشد. روش معمول در تعیین آن محاسبه انحراف استاندارد داده‌های سیگنال می‌باشد که به عنوان برآوردگر مناسبی در نظر گرفته نمی‌شود. با فرض اینکه سیگنال حاوی نویز سفید گوسی با توزیع مستقل و همسان $N(0, \sigma^2)$ می‌باشد، دونوهو و جانسون [۱۵] از تخمینگر باثبات^{۱۲}، نظیر انحراف مطلق میانه^{۱۳}، از ضرائب

^۹ Hard threshold

^{۱۰} Soft threshold

^{۱۱} Indicator function

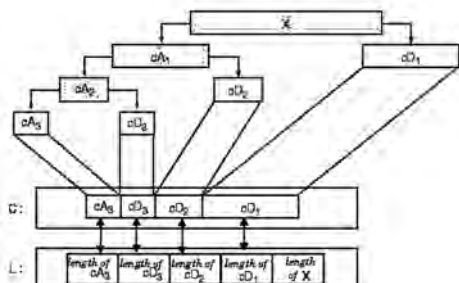
^{۱۲} Robust estimator

^{۱۳} Median absolute deviation

که در آن، $\alpha > 1$ پارامتر تنظیم میزان پراکندگی^۴ ضرائب و $n = 1, 2, \dots, t$ می باشد.
ه) حد آستانه با استفاده از راهکار بیرگه-ماسارت^۵: در این روش نیز حد آستانه وابسته به سطح تجزیه می باشد. بر اساس استراتژی بیرگه ماسارت [۴]، فرض می کنیم ز سطح تجزیه مطلوب باشد و $m > 1$ طول بردار ضرائب تقریب آخرین سطح تجزیه $I(1)$ می باشد $\alpha > 1$ پارامتر تنظیم میزان پراکندگی می باشد. در واقع هر سه پارامتر j ، m و α مشخص کننده استراتژی می باشند: ۱) در سطح تجزیه $I+1$ فرض می شود که تمامی ضرائب حفظ می شوند، ۲) برای سطح تجزیه I ام، ضرائی که اندازه آنها بزرگتر از مقدار زیر نباشتند، صفر قرار داده می شوند:

$$n_j = \frac{m}{(j+2-i)^\alpha} \quad (25)$$

همانطوری که از فرمول فوق پیداست، برای سطح تجزیه I مقدار $i = j+1$ بردار $n_{j+1} = m = I(1)$ می باشد. بردار I بیانگر تعداد ضرائب سطوح تجزیه می باشد که در شکل زیر نحوه بدست آوردن آن بیان شده است:



شکل ۴- نمایش نحوه ذخیره اعضاء تجزیه داخل بردار I

۵- باز سازی سیگنال

برای بازسازی سیگنال، سیگنال از پایین ترین سطح تجزیه دوباره ترکیب شده و این کار بطور متناوب انجام می گیرد تا سیگنال اصلی حاصل گردد (مراحل ترکیب به صورت عکس مراحل تجزیه انجام می گیرد). یعنی زیر باندهایی که در آخرین مرحله تجزیه حاصل گردیده است، باید در اولین مرحله با هم ترکیب گردد. شکل ۵، سیگنال بازسازی شده را پس از دو مرحله تجزیه و حذف ضرائب جزئیات و سپس ترکیب مجدد نشان می دهد.

^۴ Sparsity parameter

^۵ Birgé- Massart strategy

که N_j تعداد ضرائب تجزیه موجک و λ^s مقدار حد آستانه مطلوب می باشد. در روابط فوق، فرض بر این است که $\sigma = 1$ می باشد. در صورتی که واریانس داده ها واحد نباشد، مقدار $\hat{\sigma}$ مربوط به هر سطح تجزیه را از رابطه (۱۷) محاسبه کرده و ضرائب جزئیات هر کدام از سطوح تجزیه را (۱۷) توسط $\hat{\sigma}_j$ استاندارد کرده و سپس مقدار حد آستانه را برای ضرائب استاندارد شده هر سطح محاسبه می کنیم [۱۹]. دونوهو و جانسون [۱۳] نشان دادند که در حالتی که ضرائب موجک کمپشت^۶ باشند (میزان سیگنال به نویز ضرائب پایین باشد)، ترکیب حد آستانه های سراسری و SURE حد آستانه بهینه می باشد. این روش هیبریدی، زمانی که با یکتابع آستانه نرم ترکیب شود روش سورشرینک نامیده می شود. در صورتی که نامساوی زیر برقرار باشد:

$$\frac{1}{N_j} \sum_{j=1}^{N_j} \left(\left(\frac{d_j}{\hat{\sigma}} \right)^2 - 1 \right) \leq \frac{(\log_2 N_j)^{\frac{3}{2}}}{\sqrt{N_j}} \quad (22)$$

از حد آستانه سراسری استفاده می کند و در غیر اینصورت از آستانه SURE برای ضرائب در سطح تجزیه J استفاده می کند.

ج) حد آستانه مینیماکس^۷: این روش یکی از عمومی ترین روش های آستانه گذاری می باشد. آستانه گذاری مینیماکس بر اساس مینیمم کردن تابع زیر می باشد [۱۴]:

$$\inf_{\lambda} \sup_{\theta} \left\{ \frac{R_{\lambda}(\theta)}{n^{-1} + \min(\theta^2, 1)} \right\} \quad (23)$$

که در آن $R_{\lambda}(\theta) = E(\delta_{\lambda}(d) - \theta)^2$ ، $d \sim N(\theta, 1)$

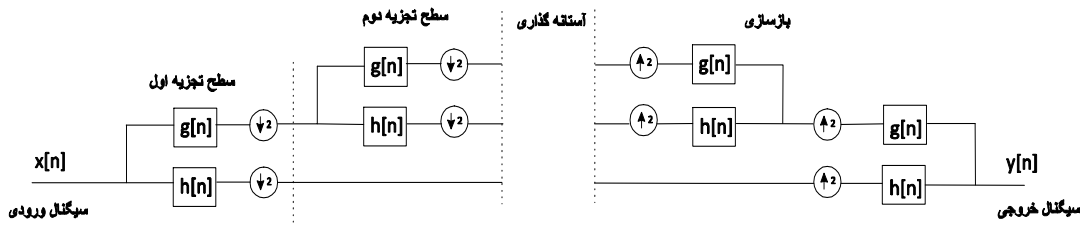
د) حد آستانه جریمه^۸: حد آستانه در این روش وابسته به هر سطح تجزیه می باشد. در این روش، ضرائب جزئیات (d_j) در هر سطح تجزیه بصورت تزویی مرتب می شوند و طبق رابطه زیر حد آستانه برای هر سطح تجزیه از ضرائب، محاسبه می شود [۵]:

$$\lambda = \arg \min_t \left[- \sum_{k=1}^t d_k^2 + 2 \sigma^2 t \left(\alpha + \ln \frac{n}{t} \right) \right] \quad (24)$$

^۶ Sparse

^۷ Minimax thresholding

^۸ Penalized thresholding



شکل ۵-نمایش سیگنال باز سازی شده توسط فیلتر های آینه ای چهار گانه

نویز سفید برآورده شده پس از آستانه‌گذاری با استفاده از روش هیبریدی شور شرینک، ردیف پنجم مربوط به توزیع نویز سفید برآورده شده پس از آستانه - گذاری با استفاده از روش آستانه‌گذاری سراسری، ردیف ششم مربوط به توزیع نویز سفید برآورده شده پس از آستانه‌گذاری با استفاده از روش مینیماکس و ردیف هفتم مربوط به توزیع نویز سفید برآورده شده پس از آستانه‌گذاری با استفاده از کمینه کردن برآورده ناواریب ریسک اشتاین می‌باشد.

نتایج حاصل از شکل ۷ نشان می‌دهد که مقادیر نویز سفید (مدل I) برای مولفه قائم بیش از مولفه‌های مسطحاتی است. با مقایسه انواع روش‌های آستانه‌گذاری مشخص می‌شود که میزان نویز هنگام استفاده از روش‌های آستانه‌گذاری سراسری و راهکار بیرگه- ماسارت (در مولفه قائم)، هم برای دامنه‌های کوچک و بزرگ، کاهش چشمگیر یافته است. در صورتی که این کاهش برای روش آستانه‌گذاری مینیماکس و روش هیبریدی شور شرینک فقط برای دامنه‌های بزرگتر دیده می‌شود. توزیع نویز سفید برآورده شده پس از اعمال حد آستانه جریمه نشان دهنده آنست که در حالت کلی فراوانی دامنه‌های کوچکتر کمتر شده و بر فراوانی دامنه‌های بزرگتر افزوده شده است. برای روش آستانه‌گذاری مینیماکس و روش هیبریدی شور شرینک فقط برای دامنه‌های بزرگتر دیده می‌شود. توزیع نویز سفید برآورده شده پس از اعمال حد آستانه جریمه نشان دهنده آنست که در حالت کلی فراوانی دامنه‌های کوچکتر کمتر شده و بر فراوانی دامنه‌های بزرگتر افزوده شده است.

شکل ۸ نمایشگر برآورده نویز سفید در مدل ترکیبی نویز سفید بعلاوه نویز تصادفی (مدل II) بوده و شکل ۹ نمایشی از برآورده نویز سفید در مدل ترکیبی نویز سفید بعلاوه فلیکر (مدل III) می‌باشد.

۶- آنالیز عددی

برای بررسی عملی روش‌های آستانه‌گذاری و مقایسه بین آنها، به تعداد ۲۶۴ ایستگاه دائمی GPS از آرشیو SOPAC با پوشش زمانی ۱۰ ساله (از ژانویه ۲۰۰۱ تا ژانویه ۲۰۱۱) جهت انجام آنالیز و محاسبات انتخاب گردید. این داده‌ها بصورت خام بوده و هیچ گونه عملیات نویز بری روی آنها انجام نگرفته بود. شکل ۶ موقعیت ایستگاه‌های دائمی GPS انتخابی را نمایش می‌دهد. برای سنجش میزان نویز در سری‌های زمانی ایستگاه‌های دائمی GPS و میزان اثر بخشی روش‌های آستانه‌گذاری در کاهش نویزها، از سه مدل استوکاستیک برای توصیف مشخصات نویزی در سری‌های زمانی ایستگاه‌های دائمی GPS استفاده می‌شود:

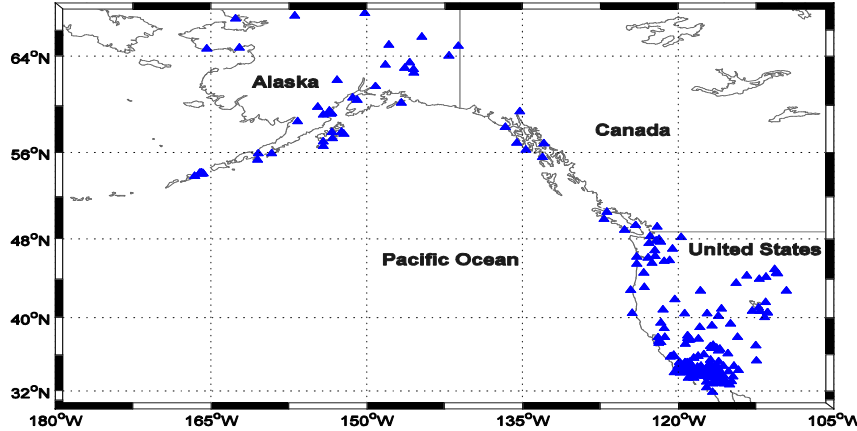
(الف) مدل شامل نویز سفید (مدل I)، (ب) مدل ترکیبی شامل نویز سفید و نویز تصادفی (مدل II)، (ج) مدل ترکیبی شامل نویز سفید و نویز فلیکر (مدل III)، شکل ۷ نمایش قطبی از فراوانی (هیستوگرام زاویه‌ای) نویز سفید در ایستگاه‌های دائمی GPS از سه مولفه (East, North, Up) می‌باشد که در آن هر قطاع مناسب با مساحت خود معرف فراوانی نسبی در جدول فراوانی می‌باشد. داده‌ها (دامنه نویزهای برآورده از نویز سفید توسط روش درست نمائی ماکریمم) به رادیان تبدیل شده، شعاع هر قطاع نمایش دهنده فراوانی مطلق هر دسته بوده و اندازه زاویه مرکزی هر قطاع نشان دهنده دامنه تغییرات داده‌ها در آن دسته می‌باشد.

ردیف اول از این گراف مربوط به توزیع نویز سفید در مولفه‌های قائم^۱ و مسطحاتی^۲ از داده‌های خام^۳ می‌باشد، ردیف دوم مربوط به توزیع نویز سفید برآورده شده پس از اعمال حد آستانه جریمه، ردیف سوم مربوط به توزیع نویز سفید برآورده شده پس از آستانه‌گذاری با استفاده از راهکار بیرگه - ماسارت، ردیف چهارم مربوط به توزیع

^۱ Up components

^۲ East and north components

^۳ Raw data



شکل ۶- موقعیت ایستگاه های دائمی GPS انتخابی از آرشیو SOPAC با پوشش زمانی ۱۰ ساله (از ۱۹۹۱ تا ۲۰۰۱)

الف) مدل شامل نویز سفید (مدل I)، ب) مدل ترکیبی شامل نویز سفید و نویز تصادفی (مدل II)، ج) مدل ترکیبی شامل نویز سفید و نویز فلیکر (مدل III)، بر روی داده های ۲۶۴ ایستگاه دائمی GPS استفاده شد.

نتایج حاصل نشان می دهد که از بین روش های آستانه گذاری که شامل : حد آستانه جرمیه، راهکار بیرگه - مسارت، روش هیبریدی شور شرینک، روش آستانه گذاری سراسری، روش مینیماکس، روش آستانه گذاری با استفاده از کمینه کردن برآورد نالریب ریسک اشتاین بودند، در مدل شامل نویز سفید (مدل I): روش حد آستانه جرمیه و روش آستانه گذاری با استفاده از کمینه کردن برآورد نالریب ریسک اشتاین قادر به کاهش فراوانی دامنه های کوچکتر می باشند، در صورتی که روش های مینیماکس و هیبریدی شور شرینک قادر به کاهش فراوانی دامنه های بزرگتر از نویز سفید را دارند. راهکار بیرگه - مسارت و روش آستانه گذاری سراسری هم قادر به کاهش فراوانی دامنه های کوچکتر و هم کاهش فراوانی دامنه های بزرگتر می باشند.

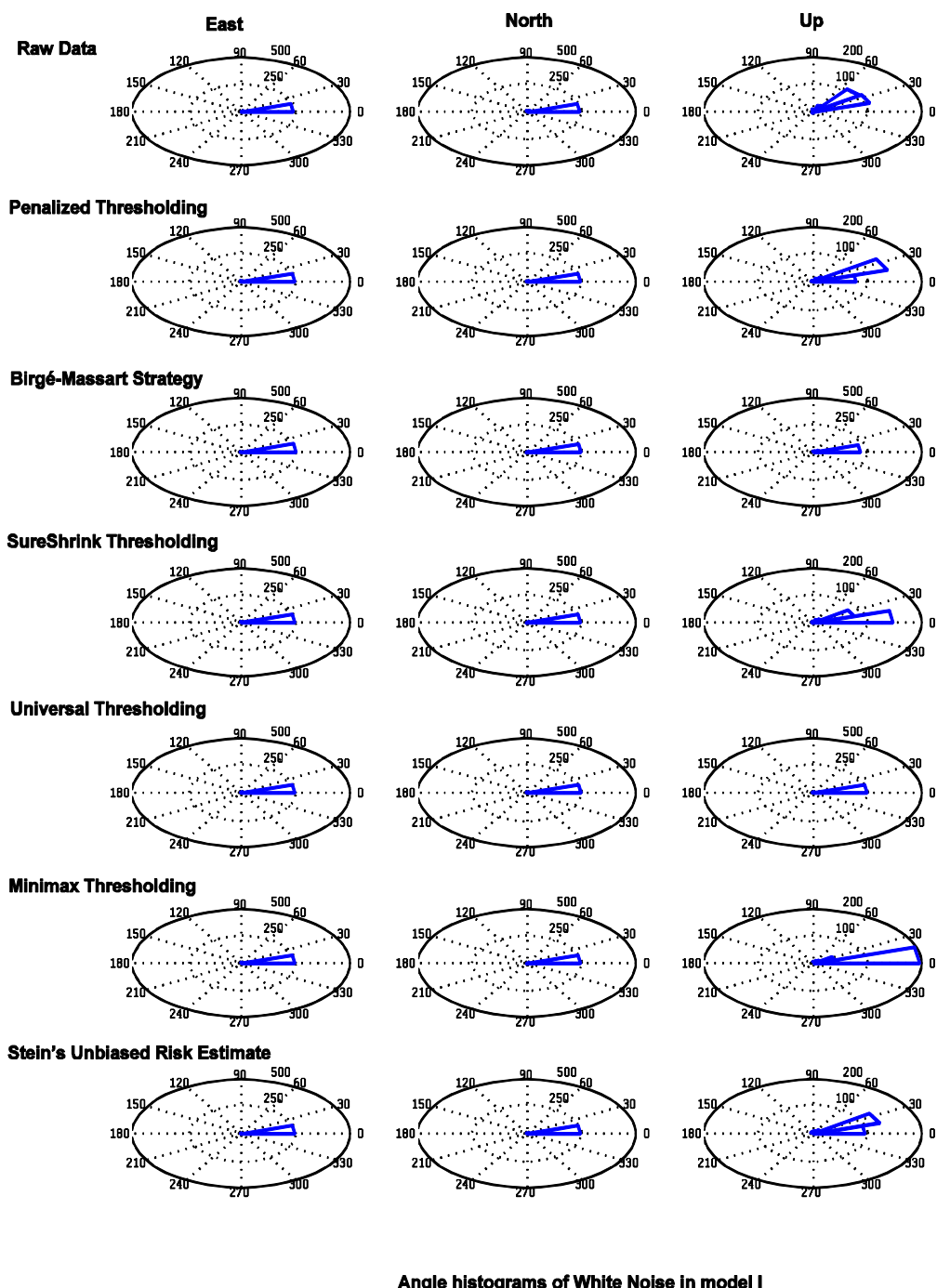
در مدل ترکیبی شامل نویز سفید و نویز تصادفی (مدل II) و مدل ترکیبی شامل نویز سفید و فلیکر نویز (مدل III)، تمامی روشها قادر به کاهش فراوانی دامنه های کوچکتر و بزرگتر از نویز سفید (در هر دو مدل) به یک میزان هستند. این در حالی است که برای نویز تصادفی و نویز فلیکر (به ترتیب) روش حد آستانه جرمیه و روش آستانه گذاری با استفاده از کمینه کردن برآورد نالریب ریسک اشتاین قادر به کاهش فراوانی دامنه های کوچکتر می باشند، در صورتی که روش های مینیماکس و هیبریدی شور شرینک قادر به کاهش فراوانی دامنه های بزرگتر از نویز رنگی را دارند. راهکار بیرگه - مسارت و روش آستانه گذاری سراسری قادر به کاهش فراوانی دامنه های کوچکتر و بزرگتر از نویز رنگی می باشند.

همانطوری که دیده می شود تمامی روش های آستانه گذاری قادر به کاهش این نویز به یک اندازه می باشند و تفاوتی در استفاده از روش های آستانه گذاری دیده نمی شود. با مقایسه اشکال ۷ و ۸ و ۹ در مولفه قائم (برای داده های خام) مشخص می شود که در صورتی که مدل استوکاستیک فقط شامل نویز سفید باشد، فراوانی نویز سفید در دامنه های کوچک و بزرگ یکسان می باشد. در مدل II مقدار همچنین فراوانی این نویز برای دامنه های کوچک کمتر و برای دامنه های بزرگتر ماکزیمم می شود. در مدل III نتایج حاصل بیانگر اینست که فراوانی و مقدار این نویز برای دامنه های بزرگتر، کاهش می یابد و برای دامنه های کوچکتر افزایش می باید.

شکل ۱۰ نمایشگر برآورد نویز تصادفی را در مدل (II) نشان می دهد. با مقایسه انواع روش های آستانه گذاری مشخص می شود که میزان نویز هنگام استفاده از روش های آستانه گذاری سراسری و راهکار بیرگه - مسارت (در مولفه قائم)، هم برای دامنه های کوچک و بزرگ، کاهش چشمگیر یافته است. مقایسه شکل ۷ و ۱۰ نشان می دهد که فراوانی و مقدار برآورد شده برای نویز سفید در مدل (I) با فراوانی و مقدار برآورد شده برای نویز تصادفی در مدل (II) بسیار شبیه هم می باشند. شکل ۱۱ نمایشگر برآورد نویز فلیکر را در مدل (III) نشان می دهد. در این نوع نویز نیز با اعمال روش های آستانه گذاری سراسری و راهکار بیرگه - مسارت (در مولفه قائم)، هم برای دامنه های کوچک و بزرگ، کاهش چشمگیر یافته است ولی بقیه روش های آستانه گذاری توانایی کاهش این نویز را ندارند.

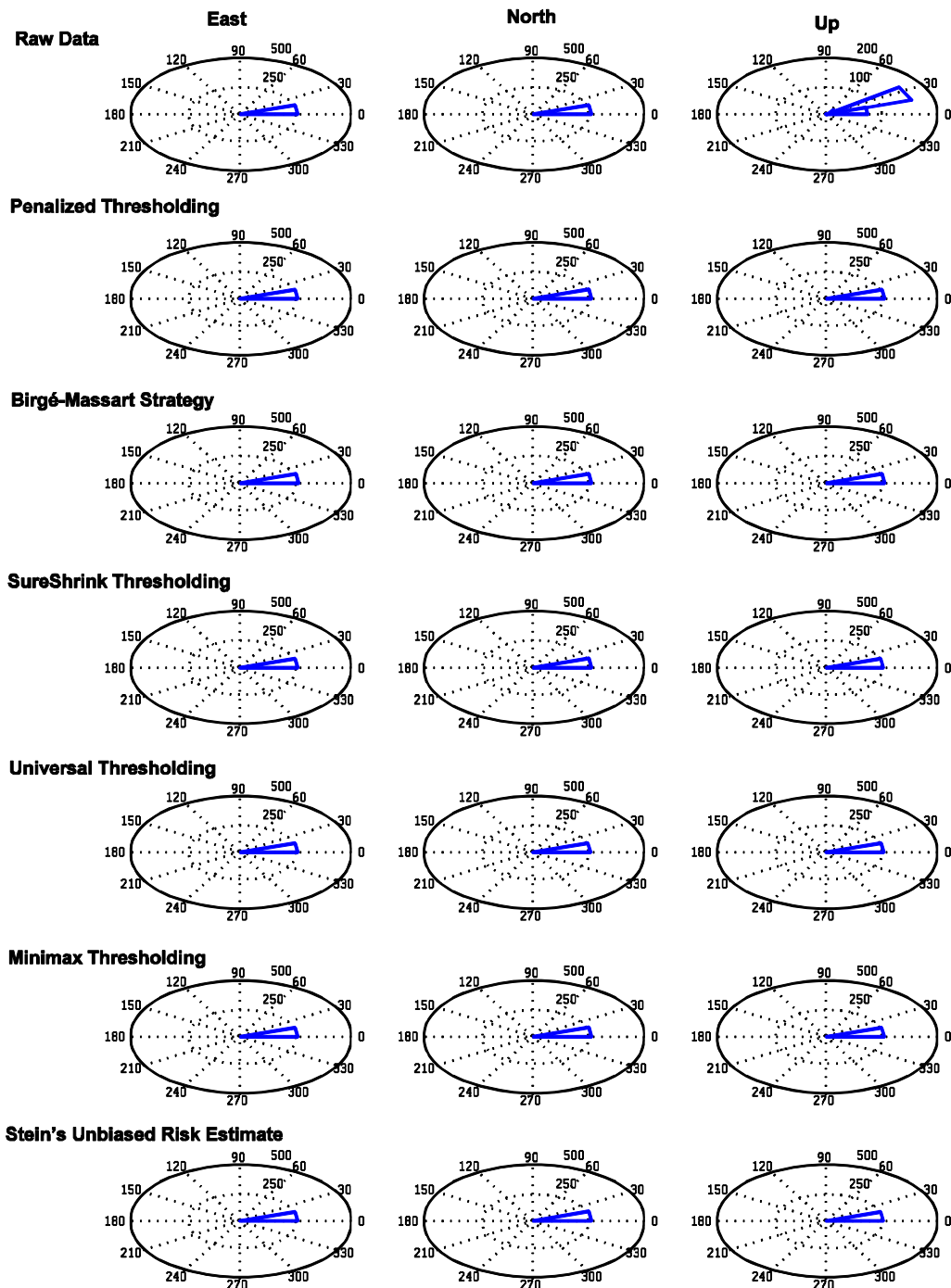
۷- بحث و نتیجه گیری

در این مقاله برای سنجش میزان نویز در سری های زمانی ایستگاه های دائمی GPS و میزان اثر بخشی روش های آستانه گذاری در کاهش نویزها، از سه مدل استوکاستیک



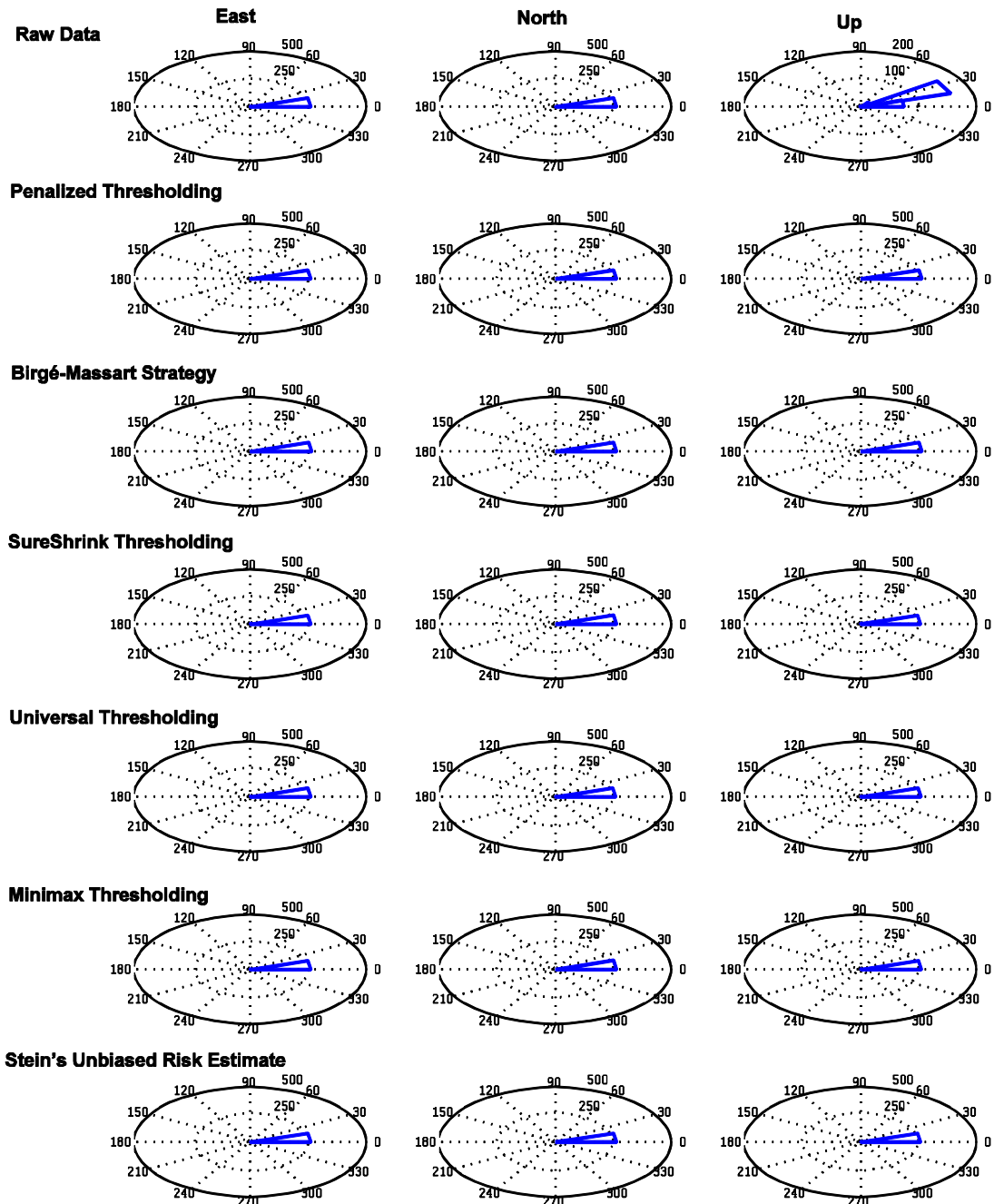
Angle histograms of White Noise in model I

شکل ۷- هیستوگرام زاویه ای از فراوانی نویز سفید در مدل استوکاستیک شامل نویز سفید (مدل I) از مولفه های مسطحاتی و قائم ایستگاه های GPS



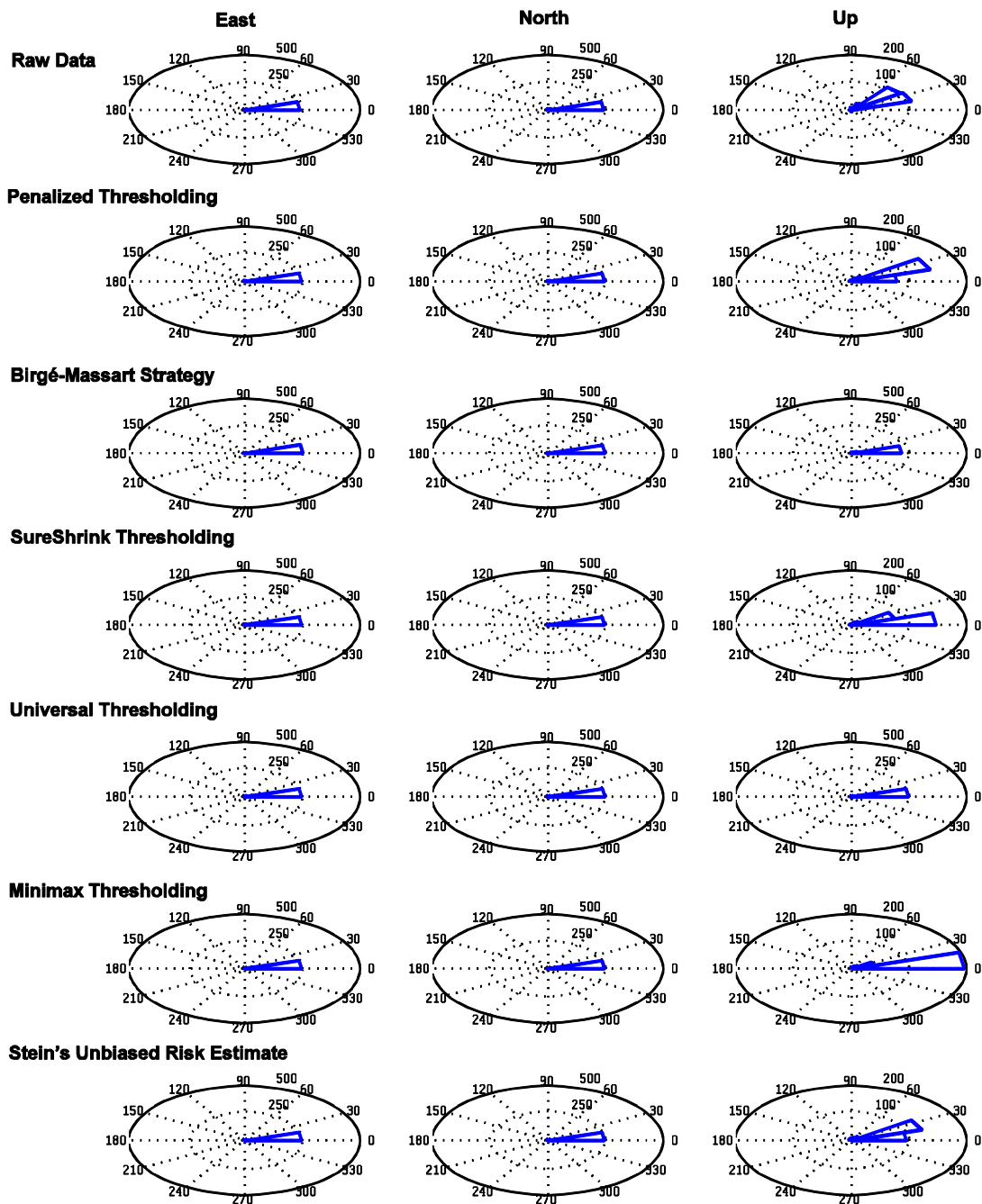
Angle histograms of white noise in model (II)

شکل ۸- هیستوگرام زاویه ای از فرآینی نویز سفید در مدل استوکاستیک ترکیبی شامل نویز سفید + تصادفی (مدل II) از مولفه های مسطحاتی و قائم ایستگاه های GPS



Angle histograms of white noise in model (III)

شکل ۹- هیستوگرام زاویه ای از فراوانی نویز سفید در مدل استوکاستیک ترکیبی شامل نویز سفید + فلیکر (مدل III) از مولفه های مسطحاتی و قائم ایستگاه های GPS



Angle histograms of random walk noise in model (II)

شکل ۱۰- هیستوگرام زاویه ای از فراوانی نویز تصادفی (مدل II) از مولفه های مسطحاتی و قائم ایستگاه های GPS

مراجع

- [1] Agnew, D. C. (1992). The time-domain behavior of power-law noises. *Geophysical Research Letters*, 19 (4), 333–336, doi:10.1029/91GL02832.
- [2] Amiri Simkooei, A. R., Tiberius, C. C. J. M., Teunissen, P. J. G (2007). Assessment of noise in GPS coordinate time series Methodology and results. *Journal of Geophysical Research*, 112, B07413.
- [3] Bessiss, Z., Terbeche, M., Ghezali, B. (2009). Wavelet application to the time series analysis of DORIS station coordinates. *Comptes Rendus Geosciences*, 341(6), 446-461.
- [4] Birgé, L. and Massart, P. (1997). From model selection to adaptive estimation. In *Festschrift for Lucien Le Cam* (pp. 55-88). New York: Springer.
- [5] Birgé, L. and Massart, P. (2001a). Gaussian model selection. *Journal of the European Mathematical Society* , 3(3), 203-268.
- [6] Birgé, L. and Massart, P. (2001b). A generalized Cp criterion for Gaussian model. *Universit'es de Paris 6 & Paris 7 - CNRS (UMR 7599)*.
- [7] Bos, M. S., Fernandes, R. M., Williams, S. D., Bastos, L. (2008). Fast error analysis of continuous GPS observations. *Journal of Geodesy*, 82(3), 157-166, doi: 10.1007/s00190-007-0165-x.
- [8] Calais, E. (1999). Continuous GPS measurements across the Western Alps, 1996–1998. *Geophysical Journal International*, 138, 221-230.
- [9] Cormen, T. H., Leiserson, C. E., Rivest, R. L., Stein, C. (2001). *Introduction to Algorithms* (Second ed.). MIT Press and McGraw-Hill.
- [10] DeVore, R. and Lucier, B. J. (1992). Wavelets. *Acta Numerica*, 1, 1-56.
- [11] Donoho, D. L. (1994). Ideal spatial adaptation by wavelet shrinkage. *Biometrika*, vol 81, 425-455.
- [12] Donoho, D. L. (1995). De-noising by soft-thresholding. *IEEE Transactions on information theory*, 41(3), 613-627.
- [13] Donoho, D. and Johnstone, I. (1994). Ideal de-noising in an orthonormal basis chosen from a library of bases. *Comptes Rendus Acad. Sci., Ser. I*, 319, 1317-1322.
- [14] Donoho, D. L. and Johnstone, I. M. (1998). Minimax estimation via wavelet shrinkage. *Annals of Statistics*, 26(3), 879-921.
- [15] Fernandes, M. S. (2008). Fast error analysis of continuous GPS observations. *Journal of Geodesy* , 157-166.
- [16] Freeden, W., Gervens, T., Schreiner, M. (1998) *Constructive Approximation on the Sphere (With Applications to Geomathematics)*. Oxford Science Publication, Clarendon Press, 1998
- [17] Freeden, W., Michel, V., (2004) *Multiscale Potential Theory (With Applications to Geoscience)*. Birkhäuser Verlag, Boston, Basel, Berlin.
- [18] Johnson, H. O. and Agnew, D. C. (2000). Correlated noise in the geodetic time series. U.S. Geol. Surv.Final Tech. Rep.
- [19] Keller, W. (2004). *Wavelets in geodesy and geodynamics*. Walter de Gruyter, ISBN: 3110175460.
- [20] Langbein, J. (2004). Noise in two-color electronic distance meter measurements revisited. *Journal of Geophysical Research*, 109, B04406.
- [21] Mallat, S. (1987). Multiresolution approximation and wavelets. *Transactions of the American Mathematical Society*, 315, 69-88.

- [22] Mao, A., Harrison, C. G., Dixon, T. H. (1999). Noise in GPS coordinate time series. *Journal of Geophysical Research*, 104(B2), 2797-2816.
- [23] Misiti, M. (2006). Wavelets and their Applications. United States: British Library Cataloguing-in Publication Data.
- [24] Misiti, M., Misiti, Y., Oppenheim, G., Poggi, J. (2006). Wavelets and their Applications. United States: Iste Publishing Company.
- [25] Moghtased-Azar, K. (2009). Surface deformation analysis of dense GPS networks based on intrinsic geometry: deterministic and stochastic aspects. *Journal of Geodesy*, 431–454.
- [26] Nikolaidis, R. (2002). Observation of Geodetic and Seismic Deformation with the Global Positioning System. San Diego: Phd Thesis, University of California.
- [27] Scargle, J. D. (1982). Studies in Astronomical time series analysis .II. Statistical aspects of spectral analysis of unevenly spaced data. *Astrophysical Journal, Part 1*, 263(2), 835-853.
- [28] Torrence, C. and Compo, G. P. (1998). A Practical Guide to Wavelet Analysis. *Bulletin of the American Meteorological Society*, 79(1), 61-78.
- [29] Vidakovic, B. (1998). Nonlinear Wavelet Shrinkage With Bayes Rules and Bayes Factors. *Journal of the American Statistical Association*, 93, 173-179.
- [30] Williams, S. D. (2008). CATS :GPS coordinate time series analysis software. *GPS Solutions*, 12(2), 147-153.
- [31] Williams, S. D., Bock, Y., Fang, P., Jamason, P., Nikolaidis, R. M., Prawirodirdjo, L., et al. (2004). Error analysis of continuous GPS position time series. *Journal of Geophysical Research*, 109(B3), B03412.
- [32] Wyatt, F. (1982). Displacement of Surface Monuments: Horizontal Motion. *Journal of Geophysical Research*, 87(B2), 979–989.
- [33] Wyatt, F. (1989). Displacement of Surface Monuments: Vertical Motion. *Journal of Geophysical Research*, 94(B2), 1655-1664.
- [34] Zhang, J., Bock, Y., Johnson, H., Fang, P., Williams, S., Genrich, J., et al. (1997). Southern California Permanent GPS Geodetic Array: Error analysis of daily posion estimates site velocities. *Journal of geophysical research*, 102(B8), 18035-18055.